文章编号: 1006-4354 (2010) 04-0004-05

2009 年陕西省雷电分布与雷电灾害特征

洁,张 媛,李润强,高菊霞 干 (陕西省防雷中心,西安 710014)

摘 要:应用 2009 年陕西省雷电监测数据与发生的雷电灾害事例,对雷电分布特征和雷电灾害特 征进行分析,发现2009年陕西省雷电天气较往年具有"开始早,结束晚"的特征,全年发生雷电 灾害事故14起,较往年明显减少。为更好地做好防雷减灾工作,提出应对措施。

关键词: 雷电流强度; 雷电分布; 雷电灾害

中图分类号: P429.9

文献标识码:A

2009 年陕西省雷电天气开始早结束晚,第一 在陕西历年来较少见。全年全省发生闪电 65 104 次雷电天气出现在 3 月 20 日,最后一次雷电天气 次,比上年同期偏少近 5 成。据陕西省闪电定位 出现在11月11日。进入冬季后出现打雷闪电,这 监测系统显示,全年共有75个雷暴日(标准:日

收稿日期: 2010-02-21

作者简介:王洁(1974一),女,陕西平利人,天气气候工程师,从事雷电监测与预报。

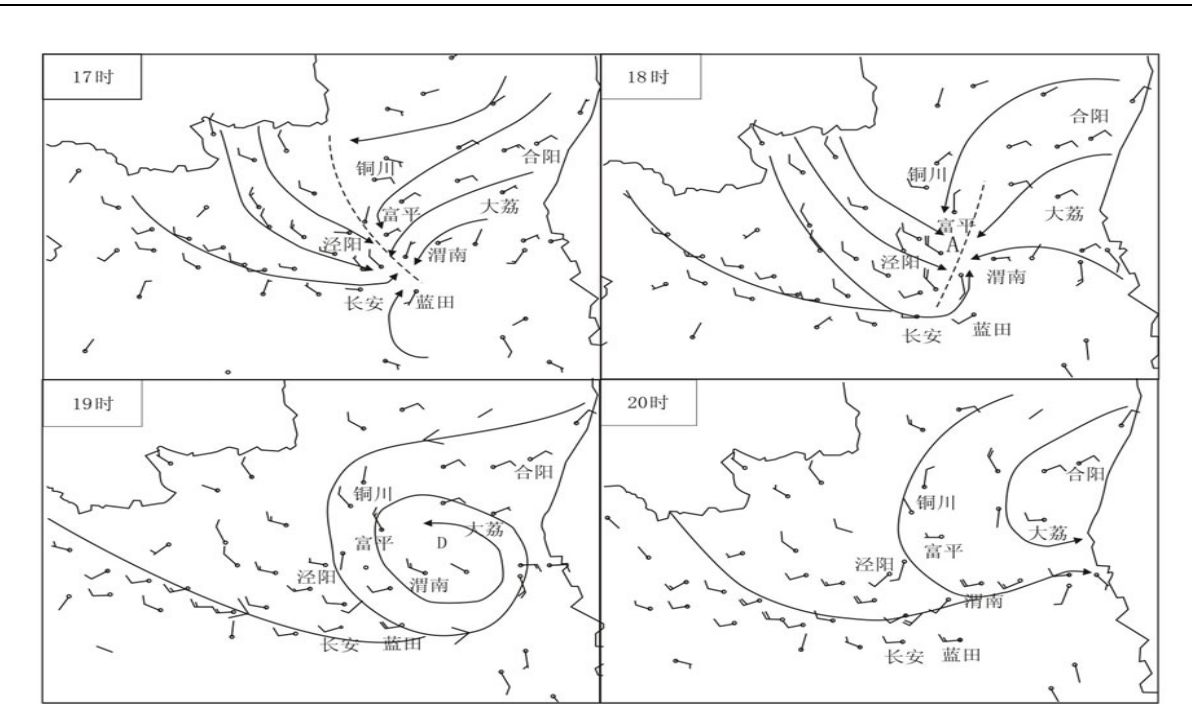


图 4 2008-08-20T17-20 逐小时地面流场 (文见第 2 页 4.2)

参考文献:

- 「1 李社宏,胡淑兰.副高西北侧一次区域性大暴雨天 气过程分析 [J]. 陕西气象, 2007, (2): 5-6.
- 杜继稳, 候明全, 梁生俊, 等. 陕西省短期天气预
- 报技术手册「M]. 北京: 气象出版社, 2007.
- [3] 朱乾根,林锦瑞,寿绍文,等.天气学原理和方法 [M].北京:气象出版社,2007:449.

闪电次数大于 50 次为一个雷暴日),雷电集中发生在 6—8 月,其中 8 月最多,共发生闪电 32 571次。雷电灾害事故 14 起,雷击造成人身伤亡 2 例,死亡 3 人。直接经济损失约 400 多万元。间接经济损失约 1 000 多万元。

1 2009年雷电气候特征

1.1 雷电密度分布

2009 年陕西雷电密集区主要分布在陕北南部、关中北部和陕南地区。陕西省南北跨度大,横跨中温带、暖温带、北亚热带三个气候带,雷电分布很不均匀。陕北南部、关中北部和陕南均属于雷电多发区,关中地区虽然雷电密度相对较小,但为陕西省经济文化中心,大型现代化电子信息系统比较集中,因此受雷电影响较大,为全省雷电灾害高发区。

1.2 雷暴日分布

2009 年陕西省共有 75 个雷暴日,与 2008 年相比较,雷电偏少近 5 成。雷电活动主要发生在 6—8 月,7 月和 8 月雷电日较多,均有 17 个雷暴日,6 月有 15 个雷暴日(图 1)。

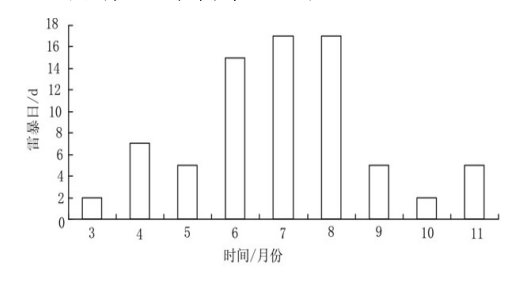


图 1 陕西省雷暴日月分布

1.3 雷电区域分布

在区域分布上,2009年陕西省雷电分布很不均匀(图2),延安市发生雷电最多,达15814次, 其次汉中市13010次,发生雷电最少的是宝鸡市,全年仅1222次。相比2008年明显偏少(出现雷电次数最多的是延安市,为24284次,最少的宝鸡市,为3004次)。

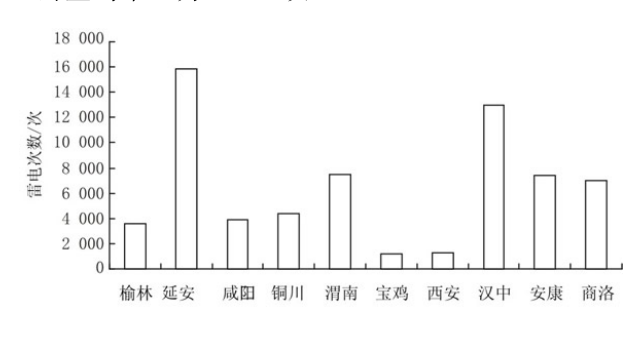


图 2 2009 年陕西省雷电地区分布

1.4 雷电强度分布

在雷电强度区域分布上,2009 年陕西省雷电流强度在 $20\sim50$ kA 的闪电最多,占总闪数的 66.8%,其次是雷电流强度在 $0\sim20$ kA 占总闪数的 17.3%,而雷电流强度在 $50\sim100$ kA 和 100 kA 以上相对较少,分别占总闪数的 13.9%和 11%。全省强度最大的闪电于 7 月 19 日 18:40 发生在延安富县,雷电流强度为 380.8 kA。

1.5 雷电时间分布

2009 年雷电集中时段呈双峰型分布(图 3), 一个集中时段是下午到前半夜(即 14—22 时),另

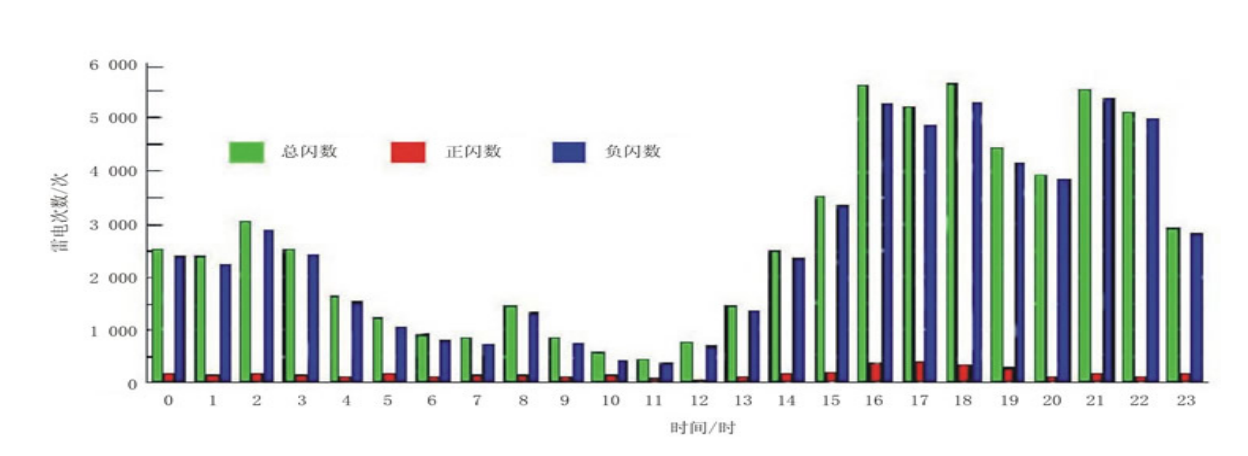


图 3 2009 年陕西省雷电时间分布

一个集中时段在后半夜(01—03 时)。与陕西省历年雷电气候特征一致。

1.6 西安市雷电分布特征

2009 年西安市发生雷电 1 243 次 (图 4), 较 2008 年偏少 7 成多 (2008 年西安发生雷电 5 135 度 39.97 kA,平均负雷电流强度-32.76 kA,最大雷电流强度于 2009 年 11 月 10 日发生在周至县境内,为 297 kA。雷击点集中在西安东北部,西安北部为工业园区,雷击灾害影响较大。

次)。正闪 97 次, 负闪 1 146 次, 平均正雷电流强

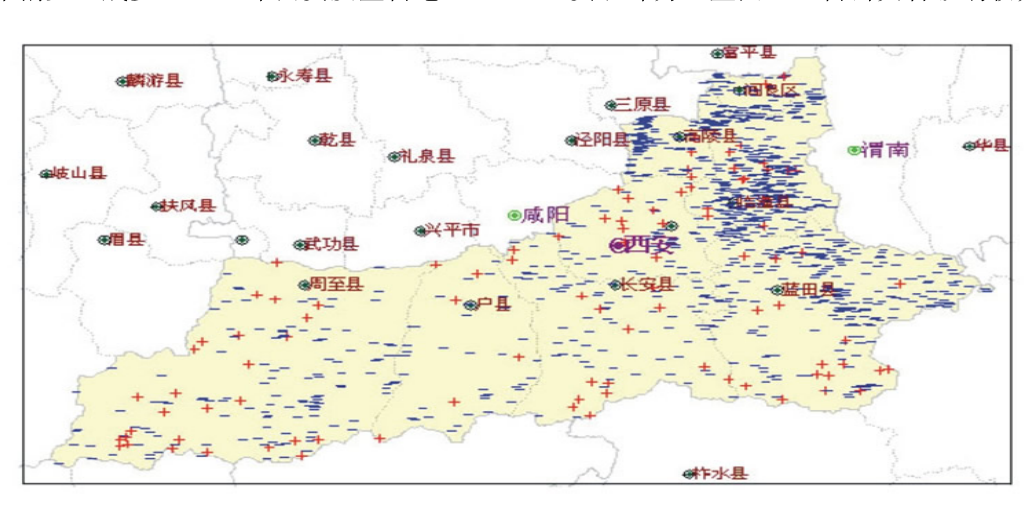


图 4 2009 年西安市雷电分布

2 主要雷电天气过程分析

2.1 2009年3月20日

月 20 日,陕西前期气候干燥且长期无明显降水,气温偏高,造成不稳定能量聚集,当北方强冷空气来临,即引发雷电这种对流性天气。这次雷电天气过程全省共发生雷电 333 次,正闪数 14 次,负闪数 319 次,闪电集中于陕南中部(图 5)。

2009年首次大范围的雷电天气过程发生在3

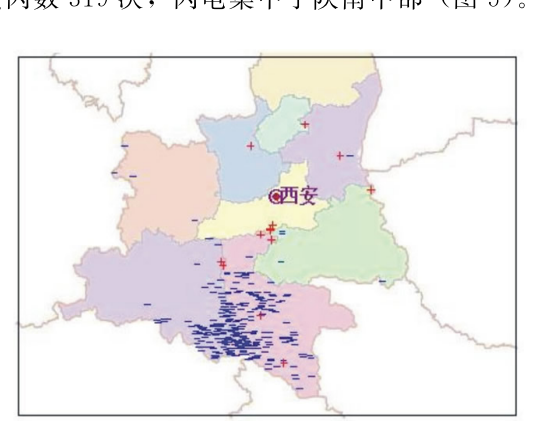


图 5 2009-03-20 雷电分布

2.2 2009年7月20日

7月19-21日受北方冷空气、副高外围暖湿

气流共同影响,陕西发生全省性强雷阵雨天气过程,陕北、关中北部和陕南东部降水明显,绥德、

吴堡、富县和黄龙均达到暴雨量级。全省共发生 闪电7927次,占全月雷电的51.5%,强雷电主 要发生在延安、铜川、渭南和商洛地区,强雷电

集中出现在 16—21 时。 这次雷电天气过程造成两起雷击灾害事故: 21 日 16: 29—19: 05,铜川印台区东部、新区、

王益区局部有线电视通讯线路放大器、光纤收发器、交换机等因雷击造成大范围电视信号终断,直接经济损失数十万元。另外,耀县大部分变电站输电线路因雷击造成大面积停电,严重影响了企

业生产和市民生活用电。直接经济损失约5万元。

8月25-26日,受副高外围暖湿气流和低空

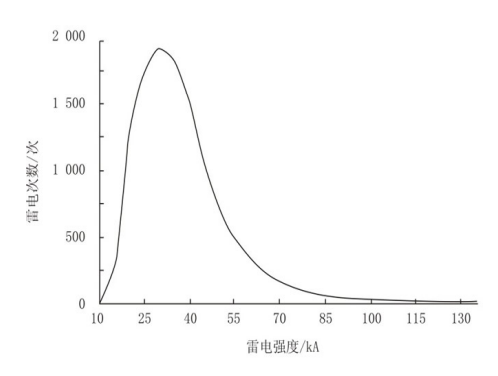
2.3 2009年8月25日

切变线共同影响,陕西出现明显的雷阵雨天气过程,全省大部出现降水,强降水主要分布在陕北和渭北地区,其中延安、富县和榆林均出现暴雨。 这次雷电天气过程遍及全省每个地区(图 6),共

发生闪电 12 330 次,占全月雷电的 37.9%,强雷电主要发生在延安、渭南和汉中。其中最强正闪

249.2 kA,21:38 在黄龙县(109.671 7°E,35.803 9°N)发生,最强负闪-248.2 kA, 22.49在合阳

具(110.181 9°E, 35.183 5°N)发生。



20:40 许,铜川市供电局遭受雷电袭击,6 千伏漆

河线路和神丘支线的 90~91 号电杆上的避雷装

2009-08-25-26 雷电强度分布

这次雷电过程造成一起雷击灾害事故:25日

置被击坏,一高压输电线被击断,导致两村民骑 摩托车经过时,触电起火身亡。 2.4 2009年11月10日

图 6

11月8-11日陕西出现了一次较为明显的

暖湿气流交汇影响,出现的一次强降温、降雪天 气过程,同时伴随着阵阵雷声。这次降温降雪伴

雷电活动过程, 进入冬季后出现打雷闪电, 这在

陕西历年来比较少见。这次主要是受强冷空气和

雷电过程中,省内31个站突破11月最大积雪深

度极值,14个站24h降水量破历史极值,陕北降

统以来,11月后发生这么大范围的强雷电尚属首

起,比去年少了47%(2008年23起)。雷电造成 人身伤亡事故 2 起, 死亡 3 人。雷电灾害分布在

水量重现期为60a一遇,西安降雪量为近50a来 同期罕见。据陕西省雷电定位网监测显示: 10 日 08 时-11 日 11 时,全省共发生闪电 630 次,其 中汉中、安康地区雷电较明显, 西安地区发生雷 电 36 次。从 2004 年陕西省建立闪电定位监测系

3 2009 年陕西省雷电灾害分析与实例 据不完全统计,全年全省雷电灾害事故 14

电子电器、通信、交通行业,死亡人员均在农村 (表 1、表 2)。预估全年雷电灾害造成直接经济损 失约 400 多万元,间接经济损失约 1 000 多万元。 雷电灾害事故主要发生在 5-8 月,其中 6 月最

区比较干燥,气温变化较快,一些易燃易爆场所,

特别是化工企业、加油加气站等场所的防雷接地

表 1 雷电灾害种类 起 电子设备 通讯设施 供电设备 家用电器 人员伤亡 雷电灾害种类 5 雷电灾害 2

次。

表 2 陕西省各地市雷电灾害统计										
地区	榆林	延安	咸阳	铜川	渭南	宝鸡	西安	汉中	安康	商洛
雷电灾害	1	4	1	5	1	0	1	1	1	0

多,在地域分布上,铜川发生雷击事故最多。

4 小结与讨论

- 2009 年陕西省第一次雷电天气出现在 3 月 受干燥气候影响较大,容易出现安全隐患,应加 20日,最后一次雷电天气出现在11月11日。进 强技术防护检查,以保证防护设施完好。 入冬季后出现打雷闪电,这在陕西历年来比较少 2009年雷电灾害主要分布在电子电器、通
- 见。雷电时间分布和雷暴日分布与陕西省历年雷 信、交通行业,死亡人员均在农村。因此要加强 电气候特征一致。 农村防雷基础设施建设,规范农村自建房的防雷
- 进入秋冬季节后,往年陕西省雷电天气很 装置建设。在新农村建设中,对广大农村群众进 少,但由于近年来异常天气较多,陕西大部分地 行雷电防护知识教育,特别是对从事野外生产作

文章编号: 1006-4354 (2010) 04-0008-03

汉中气候生产潜力的估算及其分布

张小峰, 史 平, 王 欣 (汉中市气象局,陕西汉中 723000)

摘 要:利用汉中市 11 个气象站点 1959-2008 年逐年年平均气温、年降水量资料,应用 Miami 模型、Thornthwaite 模型估算了温度气候生产潜力 ($T_{
m spr}$)、降水气候生产潜力 ($T_{
m spR}$) 和蒸散量气 候生产潜力(T_{sp})。结果表明:汉中市热量条件较好,大部分地区水分是限制作物产量的主要因 素; T_{spt}、T_{spk}对应的粮食作物的经济产量较高, T_{spt}对应的粮食作物的经济产量与实际粮食产量相 对较接近,未来粮食增产的主要途径是提高温度和水分的利用率。北部山区、南部山区和平川各 区特点明显, 可为当地的农业生产布局提供参考。

关键词:气候生产潜力;汉中: Miami 模型; Thornthwaite 模型; 分布特征

中图分类号: P165.27 文献标识码: A

气候生产潜力是指在一定的光、温、水资源

条件下,其它的环境因素(二氧化碳、养分等) 和作物群体因素处于最适宜状态,作物利用当地 的光、温、水资源的潜在生产力,气候生产潜力 的大小能够反映当地光、温资源的配合效果[1]。多 年来国内外开展了大量分析研究,常用的比较成 熟的模型是能够反映在自然状态下, 水热组合状 况对农业生产影响的 Miami 模型和 Thornthwaite 模型^[2]。汉中市北依秦岭、南靠巴 山、西部有青藏高原,地貌类型复杂,光、温、水 分布在空间上相差较大,因此,气候生产潜力也

会表现出一定的空间差异,而对它的研究也不多。 为此利用汉中市 50 a 气温、降水资料,对各县区

气候生产潜力进行估算,以期为当地农业生产布

1 资料和方法

1.1 资料的选取

温、降水资料, 计算各站点 50 a 年平均气温和年 平均降水量。为了研究问题方便,根据汉中的地 理特征及气候特征,将汉中分为三个区:北部山 区、平川和南部山区。北部山区包括略阳、留坝

和佛坪三站;平川为勉县、汉台、南郑、城固、洋

县和西乡六站;南部山区包括宁强和镇巴。

选取汉中市 11 个站点 1959-2008 年逐年气

1.2 气候生产潜力估算方法

1.2.1 Miami 模型

 $T_{\rm spt} = 3~000/~(1 + e^{1.315 - 0.119t});$

 $T_{\rm sp} = 3~000~(1 + e^{-0.000~664R})$ (2) t 为年平均气温 (°C), R 为年降水量 (mm),

(1)

T_{spt}和T_{spR}分别为以温度和降水量估算的作物干

收稿日期: 2010-04-02

作者简介: 张小峰(1976—),男,陕西周至人,工程师,主要从事天气预报和应用气象研究。

物质业人员,要增强雷电防御能力,减少人身伤 亡。

参考文献:

[2]

局提供参考。

[1] 李亚丽,杜继稳,鲁渊平,等.陕西雷暴灾害及时 空分布特征 [J]. 灾害学, 2005, 20 (3): 99-102.

朱乾根,林锦瑞,寿绍文.天气学原理和方法

[3]

[4]张敏峰,冯霞.我国雷暴天气的气候特征[J].热 带气象学报,1998,14(2):156-162.

[5] 陈渭民. 雷电学原理 [M]. 北京: 气象出版社, 2003.

[M]. 北京: 气象出版社, 2003: 113.

研究 [M]. 北京: 气象出版社, 2003.

许小峰,郭虎,廖晓农,等. 国外雷电监测和预报